

扇島沈埋トンネルの地震時挙動

日本鋼管株式会社研究所 正員 平井康善
正員 大石博

1. まえがき

沈埋トンネルは、支持力をあまり必要としないため、軟弱地盤に適した構造形式であるが、その地震時挙動に関しては、いまだ仮定の域を脱していなか部分が多い。このような観点から、実際の沈埋トンネルにおける地震観測並、強く求めらる、トンネルの地震時挙動地盤のため、扇島沈埋トンネルで、地震観測を、1975年3月より実施した。今までに、複数震度Ⅲ以上の地震を、7回観測し、いくつもの結果を得た。

ここでは、地震観測から得られた結果と、観測結果に基づいた沈埋トンネル及び埋設管状構造物の地震応答解析について概説する。

2. トンネルの概要と地震観測体制

扇島沈埋トンネルは、全長1540mで、南北5、運河部の664.3mを、沈埋工法で施工された。沈埋エレメントはトボ、3径間箱型断面の鋼管エレメント6基よりなり、7m、9m、11mの寸法は、幅2.6m×高さ6.9m×長さ110mである。トンネル断面および土質条件を、図-1に示す。なお、トンネルは、K.P.-21mに沈設されており、9の付近は、冲積層で、N値は、2~4にすぎない。

観測に用ひた計器を、図-2に示す。トンネル内には、強震計6台のほか、ひずみ計(10本)、鉄筋計(3本)を取りつけた。一方、周辺地盤の動的挙動も併せて観測する必要から、水江、東扇島の地表面に卡強震計を設置し、さらに、東扇島の地表部(G.L.0m)と地中部(G.L.-60m)に各、加速度計を設置した。なお、これらの計器に付帯するスタート・增幅器・記録器などの計器は、東扇島立坑内の計測室の中に設置された。

3. トンネルの地震時挙動

現在までに、震度(横波)Ⅲのものを、5回、Ⅳのものを、2回記録している。二回は、1978年6月12日の宮城県沖地震の記録については述べ、今までに得られた主な観測結果について、記述する。

図-3、4は、宮城県沖地震時の地盤・トンネルの軸方向・軸直角方向の加速度記録を示す。記録の初期においては、短周期の波形が優勢であるが、20秒以後は、1秒程度の周期の波形が卓越している。また、時間の経過と共に、卓越する周期は、長くなる、となっていく。地盤とトンネル内の加速度波形は、類似しているが、最大加速度は、両地盤で大きく、立坑では、地盤の7~8割程度の値を示す。トンネル中央部では、立坑の値より、若干大きくなる。また、

図-5は、地盤とトンネル内の加速度のパワースペクトル図を示す。両地盤(A,D)のスペクトル形状を比較すると、水江側(A)の方が卓越周期が、少しだが、大略的には、一致した形状を示している。また、地盤と立坑(A+B,J+C)のスペクトルを比較すると、高周波数領域において、立坑は、地盤の動きに追従していない様に見える。トンネル中央部(D)においては、地盤にせり出る高周波数の波形が、あらわれている。

図-6は、H点の東京側と横浜側のひずみ波形と、両者より分離した軸ひずみと曲ひずみの波形を示す。ひずみ波形は、図-3,4の加速度波形に比べ、減衰性は、大きい。また、加速度波形と同様、時間の経過と共に、卓越している周期が、長くなり、となっていく。図-6からも明らかに様に、軸ひずみの最大値は、曲ひずみの最大値の約2.5倍を示している。地盤面のひずみ波形に関して、同様の傾向を示している。また、単位加速度に対するひずみ値は、今まで記録した地震の中で、最も大きい。

図-7は、軸ひずみ波形と曲ひずみ波形のパワースペクトル図を示す。曲ひずみ波形のパワースペクトルは、1Hz周波に卓越周波数を示す。軸ひずみの卓越周波数は、0.5~1.0Hzにあらわれ、曲ひずみの卓越周波数より、低く。図-8は、J点の加速度波形から数値的に求めた速度波形のパワースペクトル図を示す。この速度のパワー-

スペクトルは、図-7の軸ひずみのパワースペクトルとよく類似し、曲ひずみのパワースペクトルは、図-5の地盤加速度のパワースペクトルとよく類似している。このことは、トネル内船体に発生するひずみが、表面波の振動によつて、優勢的に主げたことを示してゐると思われる。

今までの7回の地震波の解析より、次の藻取結果を得てある。

- (1) 地震動の種類により、地盤は、方向性により振動特性に差異を示さない。また、一般に、鉛直動は、水平動より小さくなる傾向があるが、近距離地震の場合、水平動と同程度の最大値を示すことがある。
- (2) トネルは、地盤とほぼ同様の振動をしてゐると認められるが、短周期で振動する場合、トネル、特に立坑は、地盤の振動に、直従的であることが認められる。
- (3) 解析された地震の中でも、一例(震源 東京湾北部)を除いて、軸ひずみの方が、曲ひずみよりも大きさを示してある。また、軸ひずみの音波、曲ひずみより長い周期の波形が卓越する。つまり、短周期の地震動については、曲ひずみ、長周期の地震動については、軸ひずみが卓越するものと思われる。
- (4) トネルは、発生するひずみの大きさは、地震動の最大加速度によってりく、地震動の音波、長い周期特性に依る影響を受けた。一般に、長い周期波形を含んでゐる地震波に對して、大きなひずみを示す。

4. 表面波を考慮した理設管状構造物の地震応答解析法

物理トネル、パイプラインなどの理設管状構造物の地震応答解析法は、いくつか提案されてゐるが、一般的には入力としては、地震基盤に位相のみのSH波を用いたものが主流である。

強震時に付ける波動伝播特性に関する実験的研究によると、強震時の波動伝播特性は、S波重複反射よりもLove波、Rayleigh波のようないき面波によるものが支配的であることが指摘されている。また、上記種別に分けても、トネルに主げたひずみは、表面波の振動は主げたのが、優勢ではないことが認められてある。

そこで、ニードル、表面波の影響を考慮した理設管状構造物の地震応答解析法を、参考文献の下で、その手順について、概説する。

表面波を考慮した理設管状構造物の地震応答解析法の手順手順は、次の通りである。

- (1) 構造物理設以前の地盤に對して、表面波が進行する場合の構造物理設予定地点の変位分布を求めよ。
- (2) (1)で求めた変位分布を、非弾性床上の梁の一部に強制入力、構造物の応答を求めよ。
- また、地盤の変位分布は、次の手順で求めよ。

(1) 表面波と1つの地盤の変位分布を、定常振動問題として求めよ。

(2) (1)で求めた定常状態の地盤変位を、フーリエ変換1、逆波地盤変位応答を求める。

成層地盤の場合、文献2に示す手順により解析を行う。円振動数を、 ω 、波数を k 、 λ 。

$$\text{Love波の変位関数} \ U_y = D_y(\omega) \cdot \exp\{i(\omega t - kx)\} \quad (1)$$

$$\text{Rayleigh波の変位関数} \ U_x = D_x(\omega) \cdot \exp\{i(\omega t - kx)\} \quad (2)$$

$$U_z = D_z(\omega) \cdot \exp\{i(\omega t - kx)\} \quad (3)$$

とおくと、離散化した形の運動方程式は、

$$[A] \ddot{U} + [G] - \omega^2 [M] \{U\} = 0 \quad (4)$$

$$\text{Rayleigh 波に關して} \quad [A] \ddot{U} + i[B] \dot{U} + [G] - \omega^2 [M] \{U\} = 0 \quad (5)$$

の様な形になり、複素固有值問題に帰着される。

(4),(5)式において、 ω は固有振動数 ω_j 、固有ベクトル $\{U_j(\omega)\}$ と、固有値 λ_j 、求定期間 t から、 $x = \lambda$ 。
の形で定常振動変位は、

$$\{U(\omega)\} \cdot e^{i\omega t} = \sum A_j(\omega) \{U_j(\omega)\} \exp(-i\lambda_j t) \cdot e^{i\omega t} \quad (6)$$

の形で表すことができる。 $A_j(\omega)$ の決定法は、後で述べる。

ここで、円振動数 ω は j に応答 $|U(\omega)|$ が求まるので、円振動数 ω は j に計算をくり返し、直フーリエ変

換算され、任意の地点の過渡応答変位を求める。以上により、構造物埋設地盤の地盤変位時刻歴分布が得られる。
以下、得られた変位 $\{u_s(t)\}$ を、

$$[K_p]\{u_p\} = [K_s](\{u_s\} - \{u_p\}) \quad (7)$$

(7)式に入力 $\{u_p\}$ 、構造物の応答変位 $\{u_p\}$ を求め、 $[K_F]$ 、 $[K_p]$ ；埋設管の剛性行列、 $[K_s]$ ；土の剛性行列
入り地盤剛性、求める構造取り扱いを行なう。 $A_{ij}(w)$ を決定する。現在、Love波、Rayleigh波の変位記録有り、存在
1つめ、既存の地震記録複数有り、Love波、Rayleigh波成分区分せず、完全に分離せず、力ずり法。
2つめ、既存の地震波有り、すべて表面波成分を除く場合、次の構造半順で
地震波の決定を行なう。

今、地震波の進行方向既知であるとし、施工方向に、 n 個の地震波記録有り、存在する場合、次の構造半順で
地震波の決定を行なう。

既存地震記録 W は存在する n 個の地震波のフーリエ成分を、 $\{U_1(w), \dots, U_n(w)\}^T$ とし、 W 時間、(6)式の $\{\Psi_j(w)\}$
と、 $A_{ij}(w)$ の間に注目し、次の構造関係が成り立つ。

$$\begin{Bmatrix} U_1(w) \\ U_2(w) \\ \vdots \\ U_n(w) \end{Bmatrix} = \begin{Bmatrix} \Psi_1 - \Psi_2 - \dots - \Psi_n \\ \Psi_2 - \dots - \Psi_n \\ \vdots \\ \Psi_n \end{Bmatrix} \begin{Bmatrix} A_{11}(w) \\ A_{21}(w) \\ \vdots \\ A_{n1}(w) \end{Bmatrix} \quad (8)$$

今、 $\{U_1(w), \dots, U_n(w)\}^T$ 、 $\{\Psi_1 - \Psi_2 - \dots - \Psi_n\}$ 上は、既知であるとし、(8)式より、 $\{A_{11}(w), \dots, A_{n1}(w)\}^T$
は、決定される。一般に、施工方向に、 n 個の地震波が存在するとは、小なり。1 個の地震波の場合、考慮する地盤二つでは、1 次モードだけに拘束され、神山川、文部省において、1 次モードの重要性を示す。2 次モードの重要性で、工学的精度が十分であることを示す。以上は、成層地盤に、この方法であるが、不規則地盤に適用しても、同様の方法で式化できる。

5. あとがき

今までに記録された地震記録、これまで中規模でないが、相異なった性質を有しており、地震波の特性により、地盤が下伏する条件によって、震度、震源距離を示すことが明らかになり、今後も、震源距離統計、等、応答解析法の研究に力を入れ、詳細な整理による地盤の地震時挙動の資料を得て、より正確な予測を行なう。なお、本地震観測の実施にあたり、御指導、御助言を賜った早稲田大学理工学研究所 那須信治院長、周間了殿、森岡敬樹殿、その他の方々に心より感謝の意を表します。

[参考文献] 1) 神山貢; 地震時に注目した地盤内の応力・ひずみ・評価 土木学会論文集 No.250, 1976.6

2) J. Lyman; Lumped Mass Method for Rayleigh Waves, B.S.S.A., Vol. 60, No. 1, 1970.1 pp 89~104

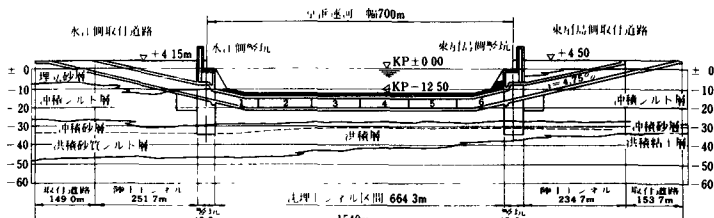


図-1 トニネ川断面図

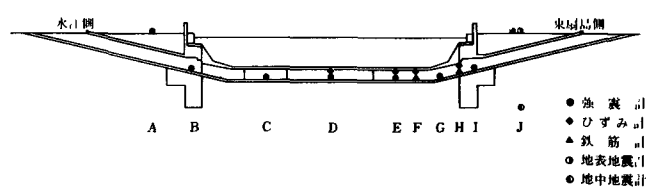


図-2 観測計器設置位置

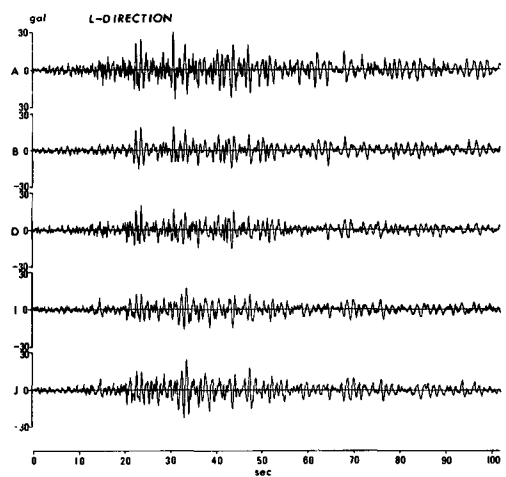


図-3 軸方向加速度波形

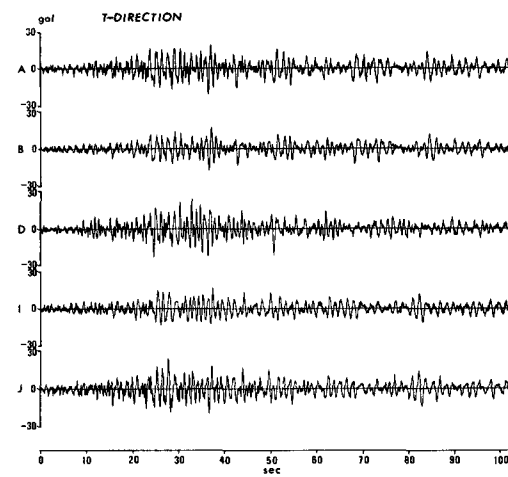


図-4 軸直角方向加速度波形

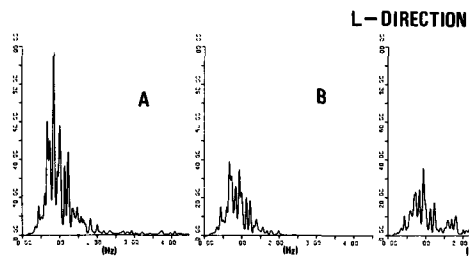


図-5 加速度波形パワースペクトル

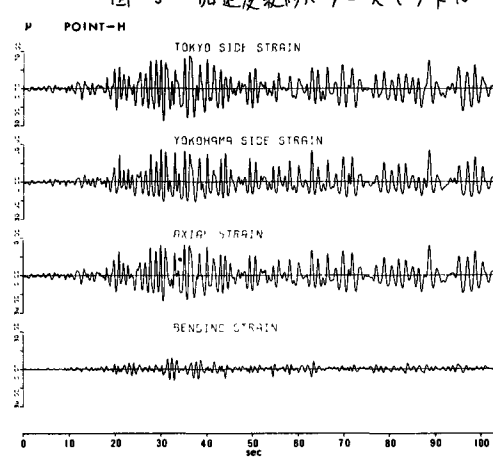
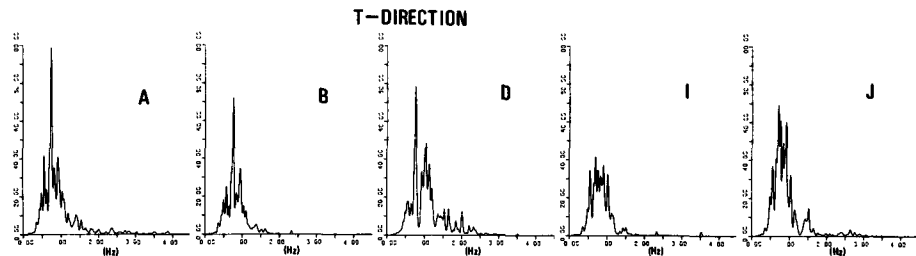


図-6 速度波形 (H.E.)

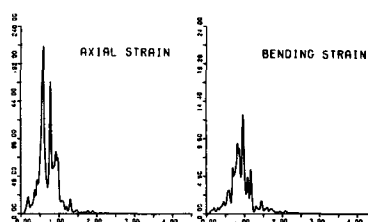


図-7 ひずみ波形パワースペクトル (H.E.)

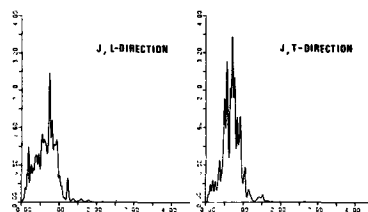


図-8 速度波形パワースペクトル